氮酮对 6-姜酚透皮吸收的影响

孙 权, 李 冰, 王 星, 祝 妍, 王星皓, 陈再兴* (中国医科大学药学院, 辽宁 沈阳 110122)

摘要:目的 研究氮酮对 6-姜酚透皮吸收的影响。**方法** 采用 TP-6 卧式扩散池进行体外透皮扩散试验。选择离体大鼠皮肤作为渗透屏障,考察不同体积分数乙醇、氮酮对 6-姜酚渗透性能的影响。**结果** 30% 乙醇、3% 氮酮对 6-姜酚均有显著促渗透作用。**结论** 本研究可为含 6-姜酚经皮给药系统的制备提供依据。

关键词: 氮酮; 6-姜酚; 透皮吸收

中图分类号: R969.1 文献标志码: A 文章编号: 1001-1528(2018)03-0583-04

doi:10.3969/j. issn. 1001-1528. 2018. 03. 014

Effect of azone on transdermal absorption of 6-gingerol

SUN Quan, LI Bing, WANG Xing, ZHU Yan, WANG Xing-hao, CHEN Zai-xing* (School of Pharmacy, China Medical University, Shenyang 110122, China)

ABSTRACT: AIM To study the effect of azone on transdermal absorption of 6-gingerol. **METHODS** *In vitro* transdermal diffusion test was performed by TP-6 horizontal diffusion pool. *In vitro* rat skins were selected as permeation barrier, the effects of different concentrations of ethanol and azone on permeation performance of 6-gingerol were investigated. **RESULTS** Both 30% ethanol and 3% azone contributed to the significant permeation enhancement of 6-gingerol. **CONCLUSION** This research can provide reference for the preparation of transdermal drug delivery systems containing 6-gingerol.

KEY WORDS: azone; 6-gingerol; transdermal absorption

姜为姜科姜属植物姜 Zingiber officinale Rosc. 的根茎,是常用中药,药用品种有生姜和干姜^[1],其中生姜为新鲜根茎,是我国传统的药食兼用植物,为历代"医家止呕圣药"^[2],民间亦有用生姜片穴位贴敷来发挥抗运动病作用的报道。干姜温中散寒,回阳通脉;生姜温中散寒,温经止血^[3],两者主要成分为姜酚,是姜中的辣味物质,也是其主要生物活性成分,包括 6-姜酚、8-姜酚、10-姜酚、12-姜酚等十余种成分^[4],其中6-姜酚含有量最高,具有强心、镇吐、降脂、化痰止咳、抗溃疡、抗肿瘤、抗菌、抗血小板凝聚等多种药理活性^[5-6],这些作用与姜的临床疗效具有相关性。现代研究表明^[7],6-姜酚能有效防止由于晕车、妊娠、化疗等原因引起的恶心、呕吐,其止吐的作用机制主要与调整胃肠功能、抑

制胃运动因素有关^[8],目前已有关于干姜凝胶贴剂的报道^[9],本实验将研究氮酮对 6-姜酚透皮吸收的影响,以期为相关经皮给药剂型的制备提供实验依据。

1 仪器与试剂

BSA124S 电子天平 (赛利多斯科学仪器北京有限公司); KH2200B 型超声波清洗器; Waters 600 型高效液相色谱仪 (美国 Waters 公司); HC-2602 高速离心机 (安徽中科中佳科学仪器有限公司); TP-6 智能透皮扩散仪 (天津市精拓仪器科技有限公司)。6-姜酚 (上海纯优生物技术有限公司, 批号 P0621); 氮酮 (国药集团化学试剂有限公司)。乙腈、甲醇均为色谱纯; 水为重蒸水。雄性 SD 大鼠,体质量 (200 ± 20) g,由中国医科大学实验动物中心提供。

收稿日期: 2017-05-26

作者简介: 孙 权, 男, 硕士, 从事中药药效物质基础研究。Tel: 15712451311, E-mail: sunquan92@163.com

* 通信作者: 陈再兴, 男, 副教授, 从事中药药效物质基础研究。E-mail: 1053330439@ qq. com

2 6-姜酚含有量测定

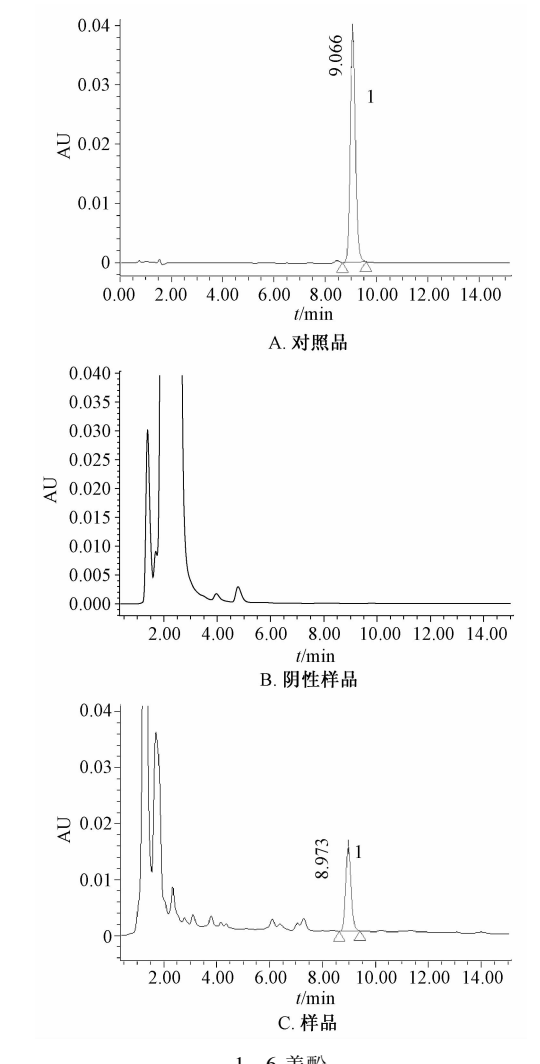
- 2.1 色谱条件及方法学考察
- 2.1.1 色谱条件 Agilent ZORBAX SB- C_{18} 色谱柱 (4.6 mm×150 mm, 5 μ m); 流动相乙腈-甲醇-水 (40:5:55); 检测波长 280 nm; 体积流量 1.0 mL/min; 柱温 30 °C; 进样量 10 μ L。
- 2.1.2 系统适应性考察 对照品溶液在 "2.1.1" 项色谱条件下进样,根据色谱参数计算系统适用性。结果,6-姜酚色谱峰的理论塔板数不应低于2000,供试品主峰与杂质的 R_s 为 1.7,符合相关要求 $(R_s > 1.5)$ 。
- 2.1.3 对照品溶液制备 精密称取 6-姜酚 10 mg, 甲醇定容于 10 mL 量瓶中,摇匀,作为贮备液,精密量取适量加甲醇稀释,得到 10、25、50、100、150、200 μg/mL 对照品溶液,冰箱中保存备用。
- 2.2 方法学考察
- 2.2.1 线性关系考察 以对照品溶液质量浓度为横坐标 (X), 峰面积为纵坐标 (Y) 进行回归,得回归方程为 Y=6 326. 4X-24 354 (r=0.9980),在 $10\sim150~\mu g/mL$ 范围内线性关系良好。
- 2.2.2 精密度试验 精密吸取同一对照品溶液, 在"2.1.1"项色谱条件下进样测定,测得6-姜酚 峰面积 RSD 为 2.1%,表明仪器精密度良好。
- 2.2.3 稳定性试验 精密吸取供试品溶液,在 "2.1.1"项色谱条件下于0、2、4、6、8、10 h进 样测定,测得6-姜酚峰面积RSD为1.4%,表明溶 液在10 h内稳定性良好。
- 2. 2. 4 加样回收率试验 $^{[10]}$ 精密量取 1 个扩散池的 6 个时间点样品各 1 mL,分别加入对照品溶液 (0.5 mg/mL) 0.5 mL,甲醇定容于 10 mL 量瓶中,摇匀, $0.45 \text{ }\mu\text{m}$ 微孔滤膜过滤,取 $10 \text{ }\mu\text{L}$ 滤液进样测定,测得 6-姜酚平均加样回收率为 99.4%,RSD 为 2.02%。

3 体外透皮扩散试验

- 3.1 离体皮肤制备和处理 大鼠断颈处死后,将 其腹部毛发用电动剃须刀剃净,立即取腹部皮肤, 小心剥离皮下脂肪层和结缔组织,生理盐水冲洗后 浸润 30~60 min,再用生理盐水冲洗干净,置 -80℃冰箱中保存备用。实验前取出,于37℃生 理盐水中自然解冻,浸泡30 min,并用生理盐水冲 洗干净。
- 3.2 试验方法 本实验采用 TP-6 智能透皮扩散 仪、卧式扩散池,扩散池面积2.27 cm²,供给池和接收室容量 8 mL。选择生理盐水作为接收介质,

分别用 10%、20%、30% 乙醇将 250 μg/mL 6-姜酚母液稀释 10 倍作为供给液,用于考察不同体积分数乙醇对 6-姜酚透皮吸收的影响。

然后,剪取"3.1"项下合适大小的离体皮肤,固定在扩散池上,离体皮肤角质层面向供给室,真皮层面向接收室,磁力搅拌速度为350 r/min,水浴温度保持(37 ± 0.5)℃,每30 min更换一次生理盐水,2 h 后接收室取样 2 mL作阴性液待测(图 1B)。接收室再改用接收介质,在供给室中加入事先制备的供给液,密封,于设定时间点取样 2 mL,并立即补充等量同温接收介质,不同时间点样品液均经 0.22 μ m 微孔滤膜过滤,续滤液置于进样瓶中冷藏待测,24 h 后停止实验,进样 20 μ L,HPLC 法测定接收液中药物的含有量(图 1C)。



6-姜酚
 6-gingerol

图 1 6-姜酚 HPLC 色谱图

3.3 数据处理^[11]和测定 药物透皮累积渗透量 Q 按下式计算(其中 V 为接收室体积, V_i 为每次取样体积, C_i 为第 i 次取样时接收液中的药物浓度)。

$$Q_i = C_i V + \sum_{i=1}^{i-1} C_{i-1} \times V_i$$

以 Q 为纵坐标,时间 t 为横坐标作图,得到药物累积渗透曲线。再对其稳态部分作切线,求出斜率,即为稳态渗透速率 J,按下式计算药物渗透系数 P,直线部分在横坐标上的截距即为药物经皮渗透的时滞 T_{lag} ,有效扩散面积为 $2.27~{\rm cm}^2$ 。

$$P = \frac{J}{C_{\rm d}} \times \frac{1}{3\ 600}$$

一般用促渗倍数 ER 来衡量促渗剂对药物经皮渗透促进作用的大小,计算公式如下(J_E 为用了促渗剂时药物的稳态渗透速率, J_0 为不用促渗剂时药物的稳态渗透速率)。

$$ER = \frac{J_{\rm E}}{J_{\rm o}}$$

然后,将 6-姜酚的单位面积渗透量及溶解度代入上述相关方程,计算不同体积分数乙醇溶解 6-姜酚时的 P、J、T_{las},结果见表 1 和图 2。

表 1 不同体积分数乙醇对 6-姜酚渗透性的影响

Tab. 1 Effects of different concentrations of ethanol on 6-gingerol permeability

| 乙醇/% | 方程 | R^2 | J/[μg•(cm²•h) -1] | SD | P/(cm·s ⁻¹) | $T_{ m lag}/{ m h}$ |
|------|----------------|----------|----------------------|-------|-------------------------|---------------------|
| 10 | Q = 4.8t - 3.2 | 0. 985 3 | 4. 8 | 0. 03 | 1. 78×10^{-5} | 0.66 |
| 20 | Q = 5.6t - 6.2 | 0. 986 4 | 5. 6 | 0.02 | 2.07×10^{-5} | 1. 11 |
| 30 | Q = 6.1t - 5.0 | 0. 984 6 | 6. 1 | 0. 03 | 2.26×10^{-5} | 0. 82 |

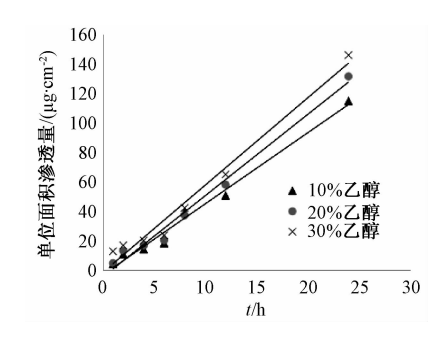


图 2 不同体积分数乙醇对 6-姜酚渗透性的影响 Fig. 2 Effects of different concentrations of ethanol on 6-gingerol permeability

3.4 促渗剂对6-姜酚渗透性的影响 氮酮具有良好的促渗作用,可以作为促渗剂^[12]。根据上述结

果可知,30% 乙醇促进 6-姜酚透皮吸收的作用最佳,故本实验选择其溶解 6-姜酚作为供给液,在此基础上考察不同浓度氮酮对 6-姜酚透皮吸收的影响^[13]。

选择生理盐水作为接收介质,30% 乙醇将250 μg/mL6-姜酚母液稀释10倍,加入含1%、2%、3% 氮酮的6-姜酚溶液8 mL,分为3组,未添加氮酮组作为空白组,其他样品处理和测定方法同"3.2"项。再将6-姜酚的单位面积渗透量及溶解度代人"3.3"项下相关方程,计算不同体积分数乙醇溶解6-姜酚时的稳态渗透速率(P)、透皮系数(J)及时滞(Tlag),结果见表2和图3。

表 2 不同浓度氮酮对 6-姜酚渗透性的影响

Tab. 2 Effects of different concentrations of azone on 6-gingerol permeability

| 氮酮/% | 方程 | R^2 | J/[μg·(cm²·h) -1] | SD | P/(cm·s ⁻¹) | $T_{ m lag}/{ m h}$ |
|------|----------------|----------|----------------------|------|-------------------------|---------------------|
| _ | Q = 6.1t - 5.0 | 0. 984 6 | 6. 1 | 0.03 | 2.26×10^{-5} | 0. 82 |
| 1 | Q = 6.6t - 6.2 | 0. 984 9 | 6. 6 | 0.01 | 2.45×10^{-5} | 0. 93 |
| 2 | Q = 6.8t - 4.0 | 0.988 3 | 6.8 | 0.02 | 2.37×10^{-5} | 0. 59 |
| 3 | Q = 7.0t - 2.0 | 0. 985 0 | 7.0 | 0.02 | 2.60×10^{-5} | 0. 29 |

4 讨论与结论

6-姜酚微溶于水^[14],而本实验接收液为生理 盐水。初步实验发现,6-姜酚在生理盐水中的饱和 溶解度为 130. 52 μg/mL,并且在该接受液中的浓 度远低于饱和溶解度,故以生理盐水为接收液不会 影响实验结果。 实验结果显示,不同体积分数乙醇对 6-姜酚的渗透速率有显著影响,其中 30% 乙醇效果最佳,而且由于高体积分数乙醇对皮肤有一定损伤作用,故选择其作为供给液。然后,供给液中分别添加 1 mL 1%、2%、3% 氮酮作为促渗剂,考察其对 6-姜酚渗透速率的影响,经 SPSS 22.0 软件检验发现

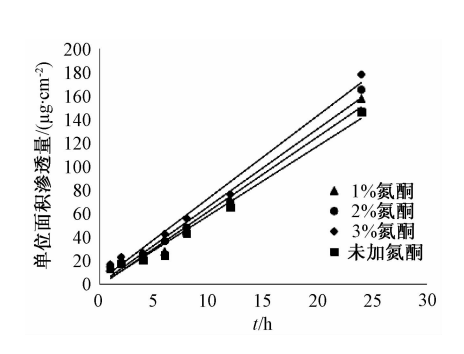


图 3 不同浓度氮酮对 6-姜酚渗透性的影响

Fig. 3 Effects of different concentrations of azone on 6-gingerol permeability

三者作用有显著性差异 (P < 0.05), 其中 3% 氮酮 G 假 份 次 果 最 佳 。

6-姜酚具有强心、镇吐、降脂、化痰止咳、抗溃疡、抗肿瘤、抗菌、抗血小板凝聚等多种药理作用^[15],故对其透皮吸收的研究很有必要,本实验将为相关经皮给药制剂的开发提供实验依据。

参考文献:

- [1] 国家药典委员会. 中华人民共和国药典: 2015 年版一部 [S]. 北京: 中国医药科技出版社, 2015: 14-15.
- [2] 李计萍,王跃生,马 华,等.干姜与生姜主要化学成分的比较研究[J].中国中药杂志,2001,26(11):26-29.
- [3] 郑少英. 论仲景用生姜与现代药理及应用之比较研究[J]. 海峡药学, 2002, 14(5): 94-95.

- 4] 杨 明, 余德顺, 田弋夫, 等. 超临界 CO₂ 萃取与水蒸气蒸馏提取姜油的 GC-MS 分析[J]. 贵州化工, 2011, 36 (3): 34-37.
- [5] 张科卫,马彩霞,缪六舒.干姜、炮姜中成分的比较[J]. 中成药,2014,36(6):1254-1260.
- [6] 龙全江,徐雪琴.干姜化学成分、药理作用及加工炮制研究文献分析[J].现代中药研究与实践,2015,29(1):82-83.
- [7] 王少鹏,杨 光.姜酚生物活性研究进展[J].中国公共卫生,2013,29(10):1549-1552.
- [8] 朱 路,王贵林.姜的药理作用研究进展[J].长江大学学报(自然科学版),2006,3(3):321-324.
- [9] 苏小妹,王 芳,汪国华,等. 生姜凝胶贴剂的制备及其体外透皮吸收的研究[J]. 江西中医药,2009,40(1):61-63.
- [10] 朱卫丰,张亚红,刘红宁,等. 肉桂酸透皮吸收的实验研究[J]. 中成药,2003,25(6):13-15.
- [11] 丁宝月. 药物在不同皮肤中的渗透速率研究[D]. 杭州: 浙江大学, 2006.
- [12] 李理宇,张东娜,窦媛媛,等.不同促渗剂对氯诺昔康体外经皮吸收的影响[J].解放军药学学报,2011,27(1):20-22.
- [13] 朱雯宇,张 倩,朱玉欣,等. 不同浓度促透剂对绿原酸体外透皮吸收的影响[J]. 中兽医医药杂志,2017,36(1):5-8.
- [14] 韩 菊,魏福祥,王改珍,等. 生姜中姜酚的性能研究 [J]. 食品科技,2004(4):63-65.
- [15] 王文心. 干姜的化学、药理及临床应用特点分析[J]. 中医临床研究, 2016, 8(6): 146-148.

麻黄-五味子药对提取物制备工艺的优化

王小花, 张建军, 李 伟, 王玉杰, 汤如莹, 王林元* (北京中医药大学, 北京 100029)

摘要:目的 优化麻黄-五味子药对提取物制备工艺。方法 在单因素试验基础上,以麻黄碱、伪麻黄碱总转移率,五味子醇甲转移率为指标,加醇量、回流次数、回流时间为影响因素,正交试验优化提取工艺。结果 最佳条件为8、6 倍量 70% 乙醇回流提取 2 次,每次 1.5 h,提取液减压浓缩干燥(真空度 ≤ -0.07 MPa),麻黄碱、伪麻黄碱总转移率 71.03%,五味子醇甲转移率 74.81%。结论 该制备工艺有效成分转移率高,稳定可行。麻黄-五味子药对采用 70% 乙醇提取时,既有利于提取五味子木脂素,又可减少麻黄生物碱在浓缩干燥过程中的损失。

关键词:麻黄-五味子药对;制备;正交试验

中图分类号: R284.2

文献标志码: A

文章编号: 1001-1528(2018)03-0586-06

doi:10.3969/j.issn.1001-1528.2018.03.015

收稿日期: 2017-08-28

作者简介: 王小花 (1992—), 女,硕士生,从事中药新技术与新制剂的研究与应用。Tel: 15911125389, E-mail: 15911125389@163.com ***通信作者**: 王林元 (1961—),男,副教授,硕士生导师,从事中药新技术与新制剂的研究与应用。Tel: (010) 68286099, E-mail:

* **通信作者**: 王林元 (1961—), 男, 副教授, 硕士生导师, 从事中药新技术与新制剂的研究与应用。Tel: (010) 68286099, E-mail 13381002202@ vip. 163. com